

### III-38 養和粘土の三軸圧密時の変形に及ぼすストレス・パスの影響

西日本工業大学 工学部 正員 ○ 寺原一哉  
九州大学 工学部 同 山内豊勝

1. まえがき 筆者らは三次元在密においては、ダイレクタンシーとセン断変形の時間依存性を考慮すべきであるという観点から、三軸圧密試験に基づく粘土の三次元地下計算法を提案している<sup>1)</sup>。この場合、構造物などの局部載荷による地盤内応力を三軸試験においてどのように簡略化して算定する問題である。また、同時に三軸試験によって変形を推測する際には、応力履歴や応力経路の影響を十分検討する必要がある<sup>2)</sup>と思われる。本文では、このうち正規圧密粘土に限らず、ストレスパスの変形に対する影響を調べた結果を報告する。

2. 三軸圧密試験の概要 実験に用いた試料はカタナイトを母材とする有機復合土で、 $G_s = 2.34$ ,  $W_L = 153\%$ ,  $I_p = 66$  である。試験機は、側方変位計を装着した(直径6cm、高さ7.5cm)の中央側面三方向に取付けた応力制御式の三軸圧密試験機である。ストレスパスの影響を調べたための試験条件は次の三種類とした(図-1参照)。

- K<sub>0</sub>在密後平均主応力一定試験(OABパス)
- 等方圧密後平均主応力一定試験(ODBパス)
- K<sub>0</sub>在密後最小主応力一定試験(OACパス)

なお、今回はD,A,Bにおける平均主応力が主として  $1.23 \sim 1.25 \text{ kg/cm}^2$  の結果を中心に整理した。

3. 実験結果の考察 3.1 正規圧密粘土の三軸圧密時の応力・変形関係式について 記報において等方圧密粘土の三軸圧密における応力と変形の間に定常領域において次式が成立することを示した。

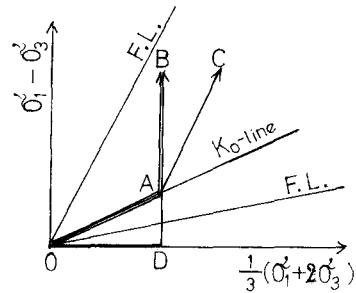


図-1 三軸圧密時のストレス・パス

$$\sigma'/v = C_K (\sigma'_A/\sigma'_m) + \mu \quad \dots \dots (1)$$

$v = 2$ ,  $\gamma = \frac{2}{3}(e_1 - e_3)$ ,  $v = e_1 + 2e_3$ ,  $\sigma'_A = \sigma'_1 - \sigma'_3$ ,  $\sigma'_m = \frac{1}{3}(\sigma'_1 + 2\sigma'_3)$ ,  $C_K$ ,  $\mu$ : 材料がFW状態に達する定数である。(1)式を

べき増加形で表示すると、両側微分して適当な操作を行えば、

$$d\sigma'/dv = C_K (\sigma'_A/\sigma'_m) + \mu' \quad \dots \dots (2)$$

もう1つ。 $v = 2$ ,  $\mu' = \mu + C_K D_K v (d\sigma'/v)^2$  ( $D_K$ : (2)式における

比例定数,  $d\sigma' = d(\sigma'/\sigma'_m)$ ) である。

3.2 ベシミ比と応力比の関係 先の三種類の三軸圧密試験におけるストレス・パス中のベシミ比・応力比関係は、図-2に示す通りである。 $\sigma'_0$ は圧密終了時に生じる3軸差応力で等方圧密終了時には  $\sigma'_0 = 0$  であるが、 $K_0$ 在密終了時には  $(1-K_0)\sigma'_1$  である。(1)式の係数  $C_K$  は、 $K_0$ 在密後  $\sigma'_0$ 一定  $> K_0$ 在密後  $\sigma'_0$ 一定  $>$  等方圧密後  $\sigma'_m$ 一定 の順に小さくなっていること、これはまた、セン断変形に対する拘束力の順に大きくなることを示している。

粘土粒子の配列構造の変化という面からいえば、等方圧密工事か圧密前後における比較的構造の変化が少ないと言えるので、セン断応力に対する拘束の粒子の自由度は大きいと推測される。ところが、上記の結果はこれを裏付けている。この相違は、 $K_0$ 在密粘土は  $K_0$ 在密終了時に生じるセン断応力を増加し、これが引き金的な役割を果すことに伴って応力の増大と共に变形が進行するのである。この点はまだ明確ではないが、粒子構造の変化などに興味をもたらすものである。(1)式はせよ定数はストレス・パスの影響をうける(2)式を用いて挙げ解説する際には注意を要する。

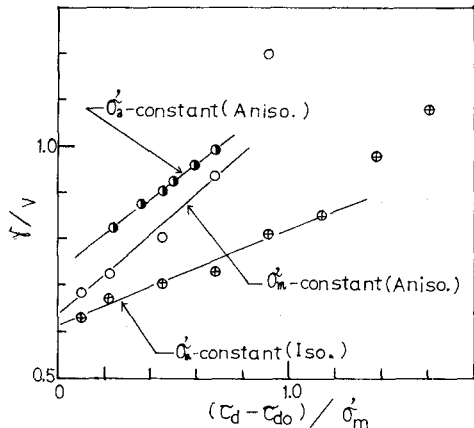


図-2 ベシミ比と応力比の関係

### 3-3 三軸圧密中の体積変化に及ぼすストレインの影響

図-3は各試験における体積変化を応力比に付し整理したものである。二点から $\sigma_3$ -一定試験も含めて体積収縮率は、一般に

$$V = D_K (\tau_d - \tau_{d0}) / \sigma_m' \quad \text{--- (3)}$$

によれば表わされる二式がある。 $\sigma_m'$ -一定試験における体積変化量はダイラタンシー量と差があるが、等方圧密試料はダイラタンシー量を顕著に示すものと存在し、其の量も $K_0$ 在密試料と大きく異なる。また、 $\sigma_3$ -一定試験では図-4に示すようにダイラタンシーと圧密成形拘束圧存続率になり、 $\sigma_m'$ -一定試験との差が等方圧密成分にはほとんど含まれない。この成分によるビズミ $V_C$ は通常

$$V_C = (C_0 / 1 + C_0) \log_{10} (\sigma_m' / \sigma_{m0}') \quad \text{--- (4)}$$

によれば表わされる式 $V_C$ 結局これらを次式にまとめると

$$V_C = V (D_K \sigma_{m0}' - D_K \sigma_m') / D_K \sigma_{m0}' \quad \text{--- (5)}$$

とかく等しくなることになる。 $= V$ 、 $D_K$ 、 $D_K'$ はそれぞれ $\sigma_m'$ -一定、 $\sigma_3$ -一定試験における体積収縮率、応力比を関係する比例定数(3)式)である。

3.4 セン断変形について (1)、(3)両式から三軸圧密中のセン断変形は次のようく表わされる。

$$\gamma = D_K \left( \frac{\tau_d - \tau_{d0}}{\sigma_m'} \right) \left\{ C_K \left( \frac{\tau_d - \tau_{d0}}{\sigma_m'} \right) + \mu \right\} \quad \text{--- (6)}$$

3.2 セン断変形の拘束度か小さいものほど大きなセン断変形を示すのが、図-5よりわかる。 $K_0$ 在密試料の $\sigma_m'$ -一定試験と $\sigma_3$ -一定試験の差は2,3%であるが、等方圧密試料の変形が普段小さくなることがわかる。また、定常領域における計算曲線は良く実験値を説明しているが、等方圧密試料の場合応力比が大きい領域では何れかくらべて、この領域で塑性流動的変形が発生するかも知れない。塑性流動発生辨別と実験式を検討したい。

4. あとがき 三軸圧密中の応力・変形一関係式が構造のストレインの式に付して係数を導いたたけに成り立つことを確めた。本文を要約すると次のようになる。(1)ビズミ比 $V/V$ と応力比 $\sigma_m'/\sigma_{m0}'$ の線形関係はストレインを異なして成立する。(2)係数 $C_K$ はセン断変形に対する拘束度を表す。(3)等方圧密試料はダイラタンシーを顕著に示すが、等方圧密試料では $K_0$ 在密試料にはない。 $K_0$ 在密試料ではセン断応力が $\gamma$ の変形やダイラタンシーが等方圧密試料より起りやすい。今後次の課題が残る。(i)非排水引張りの解析、(ii)過圧密粘土の三軸圧密特性の解析への拡張

- 引用文献
- 1) 宮原・山内・大庭(1974): 三軸圧密における有機複合土のダイラタンシーと変形、第4回土壤工学研究発表会講演集
  - 2) 大庭(1974): 有機複合土の等方圧密特性について、九大工学集報 Vol. 47, No. 1
  - 3) 諸戸(1972): 所の特性的変形特性、土壤学会論文集 Vol. 12, No. 3
  - 4) Campanella, R.G. and Y.P. Tait(1974): Triaxial and Plane Strain Creep Rupture of an Undisturbed Clay, Canadian Geotech. J., Vol. 11, No. 1

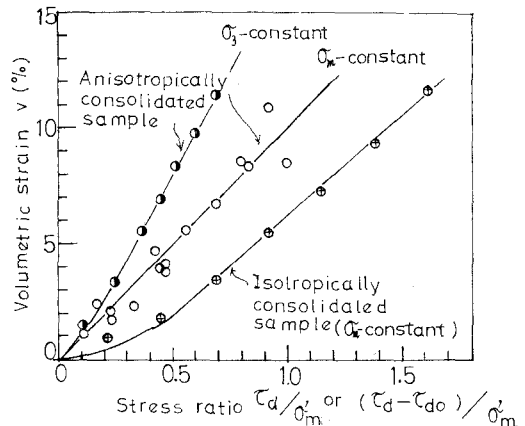


図-3 三軸圧密中の体積収縮率

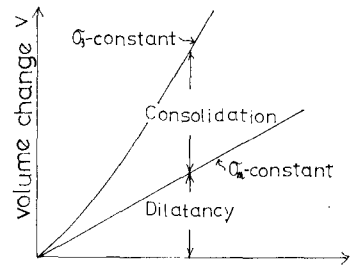


図-4 三軸圧密中の体積変化成分

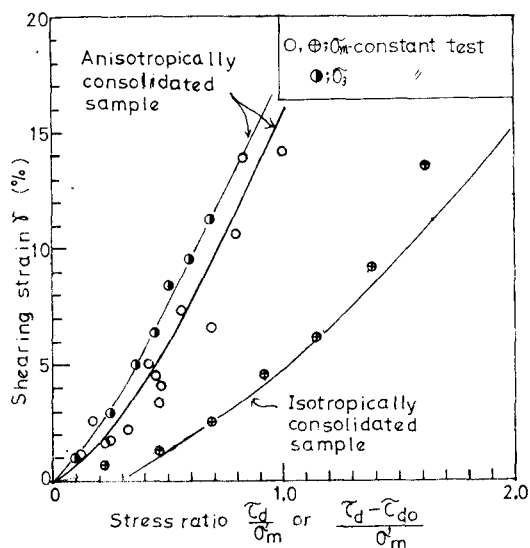


図-5 三軸圧密中のセン断変形と計算曲線の比較